

# Trendy vývoje CT zobrazovacích systémů v lékařství

FBMI, Kladno 2020

Martina Nováková Ph.D.

# CT produkty Siemens

## Single Source CT Scanner

[SOMATOM X.cite](#)  
[SOMATOM Definition Edge](#)  
[SOMATOM Definition AS](#)  
[SOMATOM Edge Plus](#)  
[SOMATOM go.Top](#)  
[SOMATOM go.All](#)  
[SOMATOM go.Up](#)  
[SOMATOM go.Now](#)  
[SOMATOM Perspective](#)  
[SOMATOM CT Sliding Gantry](#)



## CT for Radiation Therapy

[SOMATOM Definition Edge in RT](#)  
[SOMATOM go.Open Pro](#)  
[SOMATOM go.Sim](#)  
[SOMATOM Confidence® RT Pro](#)  
[SOMATOM go.Up](#)  
[SOMATOM CT Sliding Gantry](#)

## Mobile Head CT

[SOMATOM On.site](#)



## Surgery and Interventional Radiology

[NEXARIS Angio-CT](#)  
[MIYABI Angio-CT](#)

## Dual Source CT Scanner

[SOMATOM Force](#)  
[SOMATOM Drive](#)  
[SOMATOM Definition Flash](#)

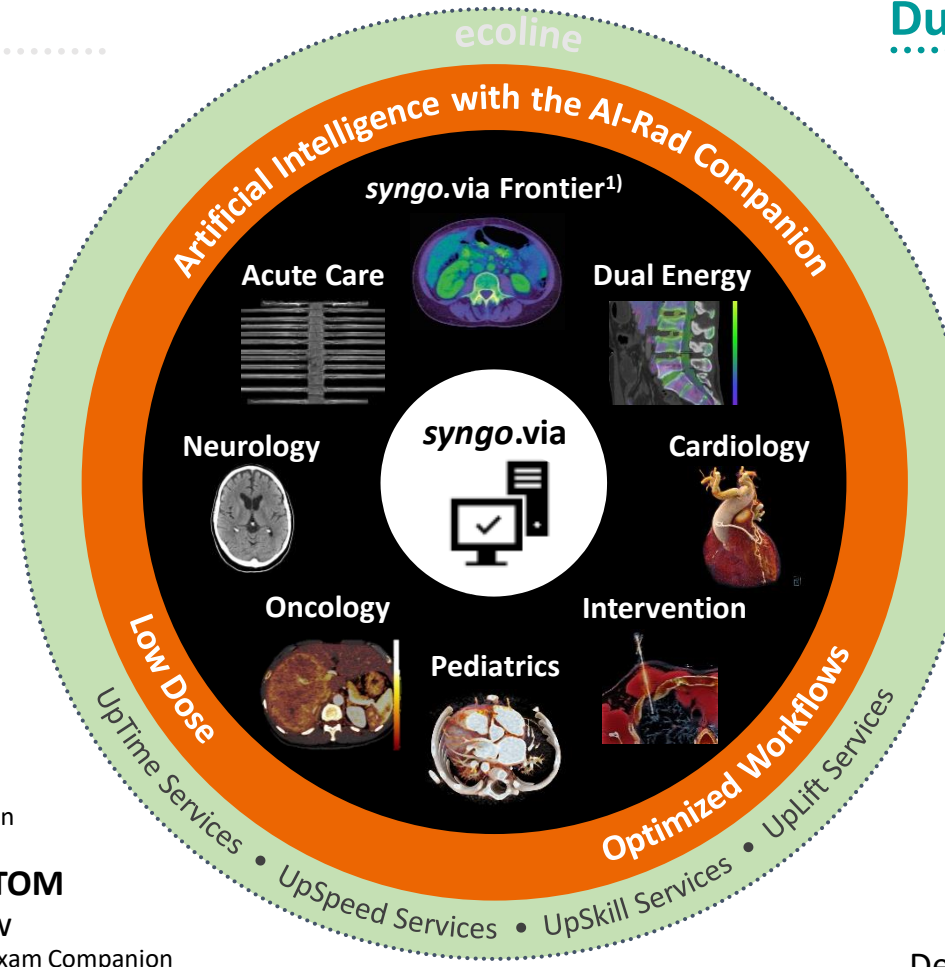
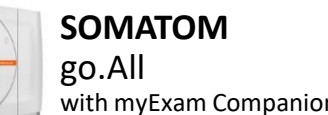


# Vývoj CT portfolia 2020 -

## Pojízdné CT



## Single Source CT



## Dual Source CT



## Single Source CT



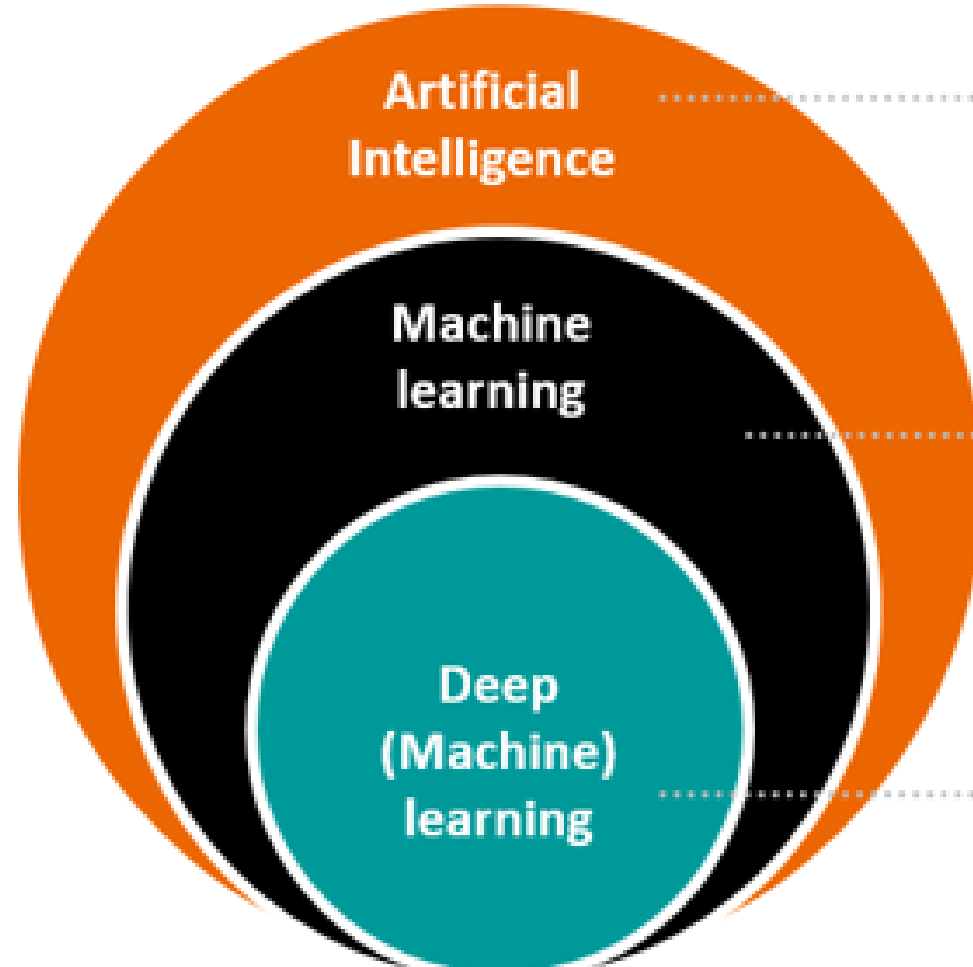


Click to add footnote  
second line

# Vývoj CT technologie – AI

Siemens více jak 20 let

# Artificial Intelligence - AI

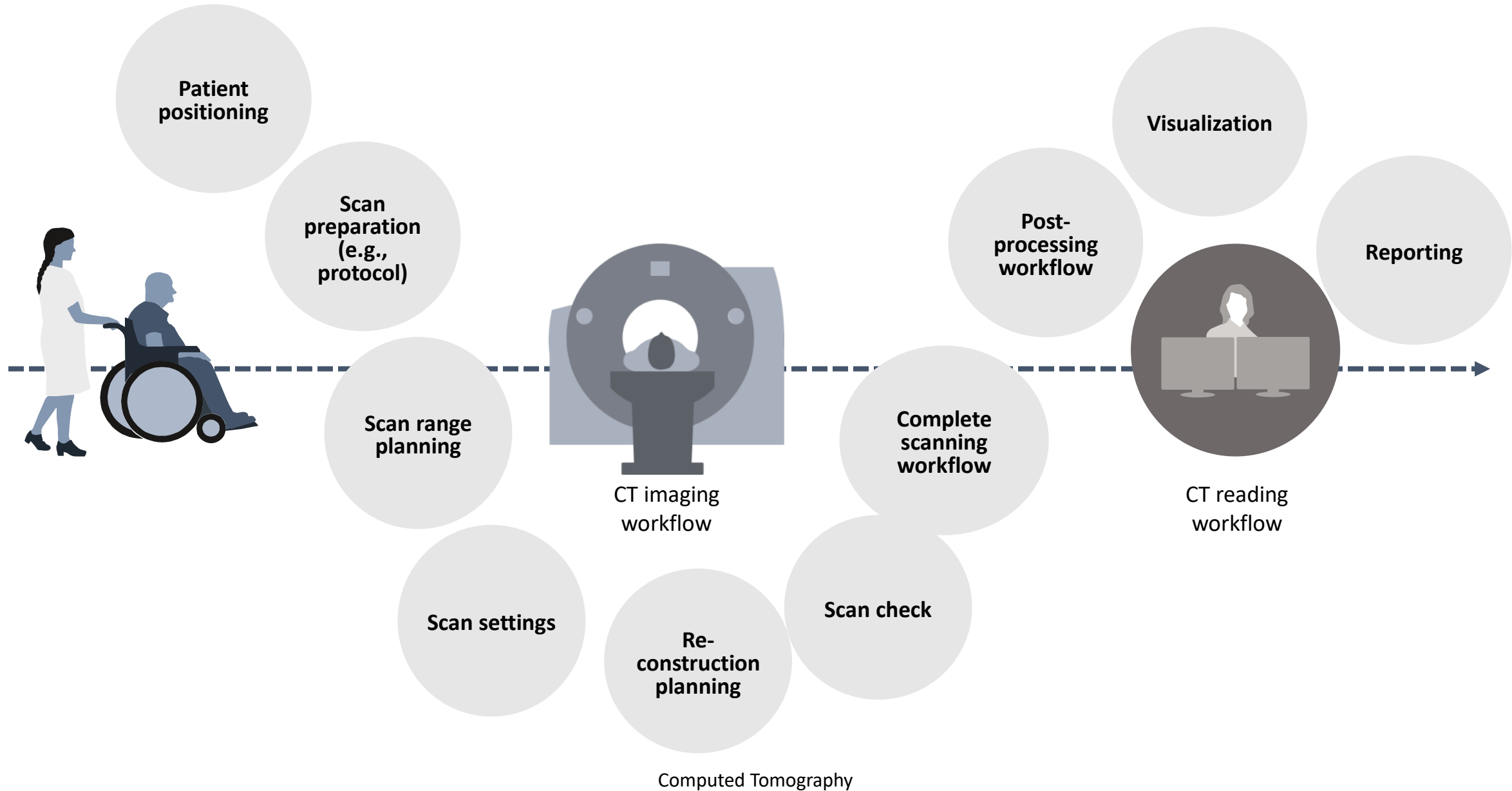


More than **40** AI-enriched  
offerings on the market

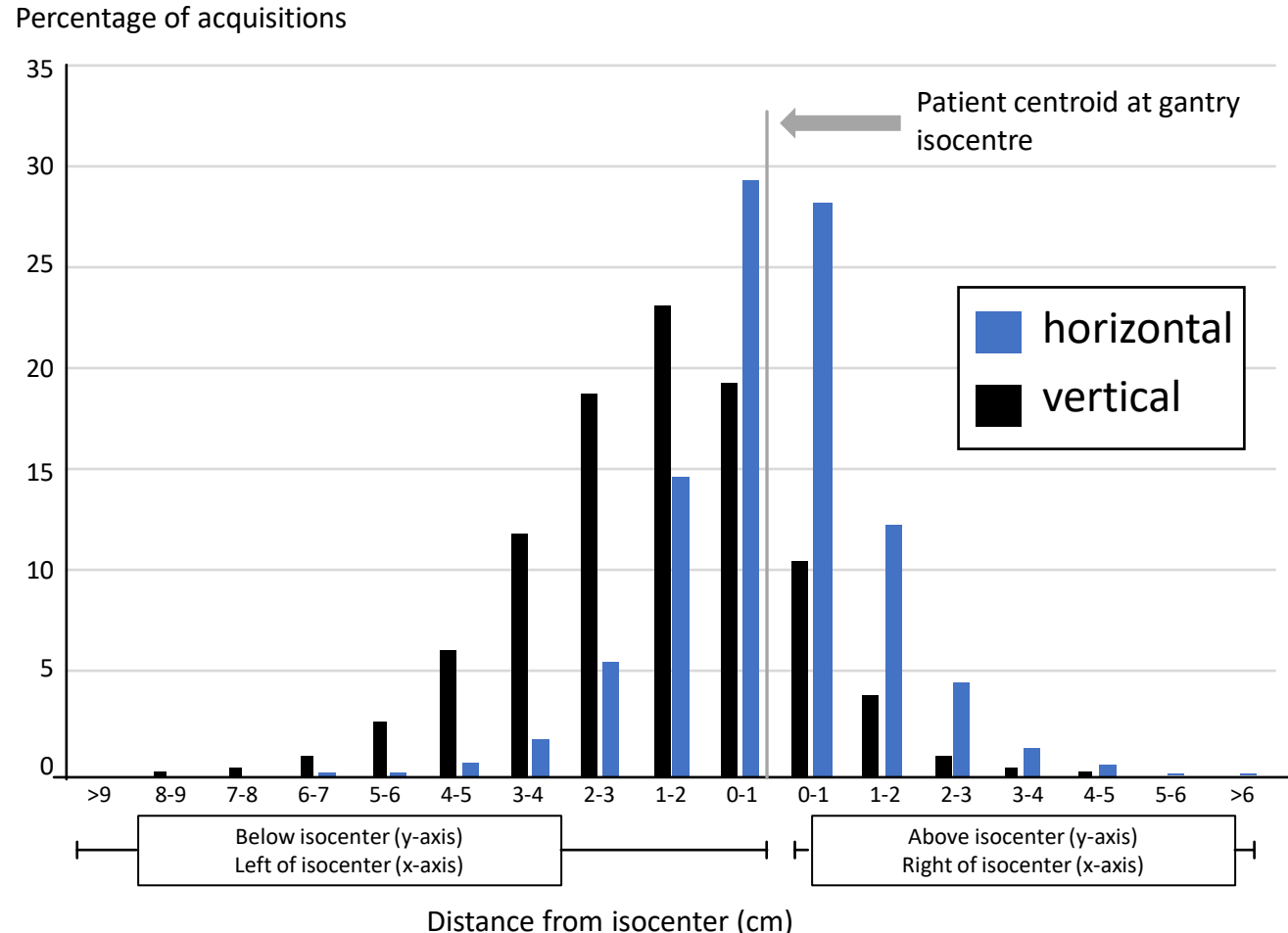
**500** patents and patent  
applications in machine learning

**125** patents and patent  
applications in deep learning

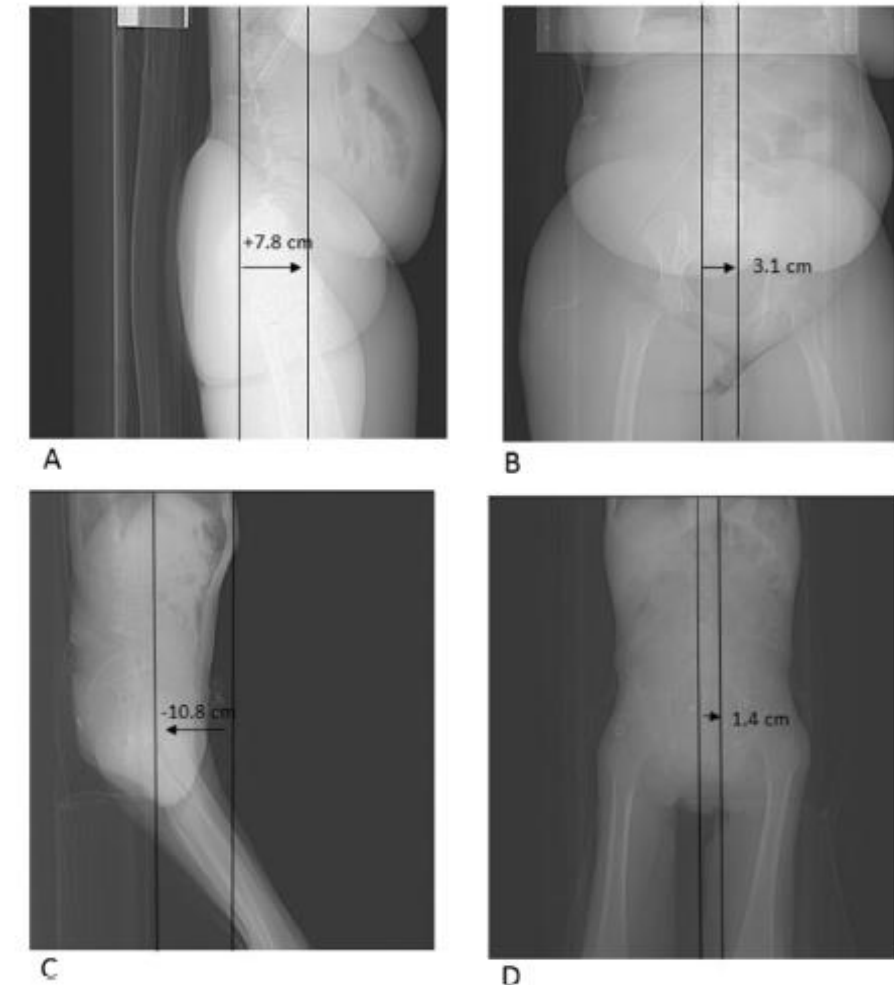
# AI v pracovním prostředí CT



# Správná pozice pacienta v izocentru

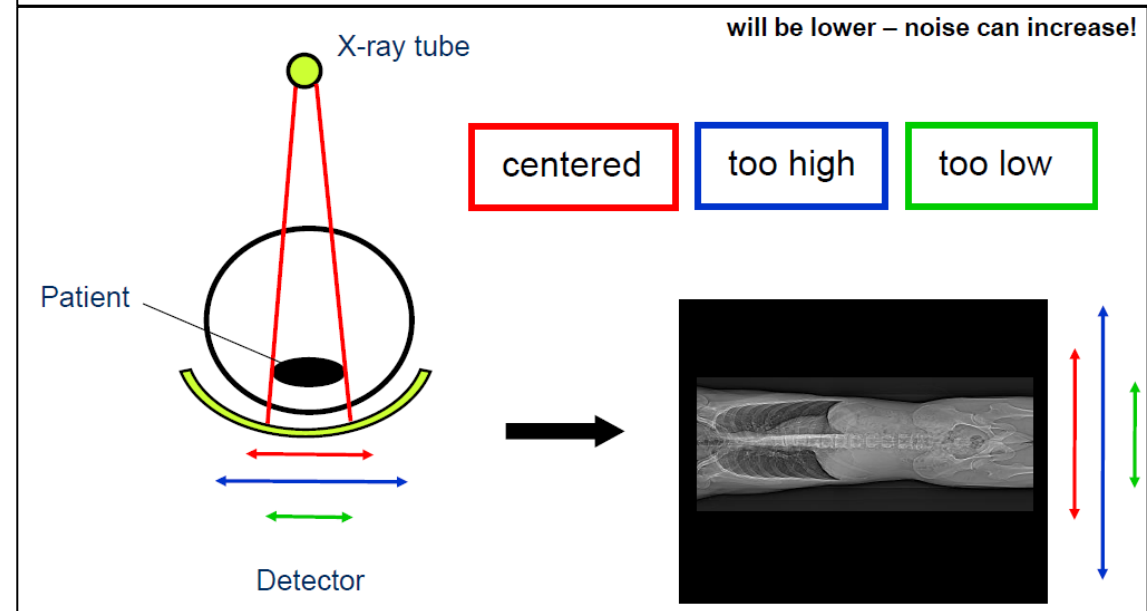
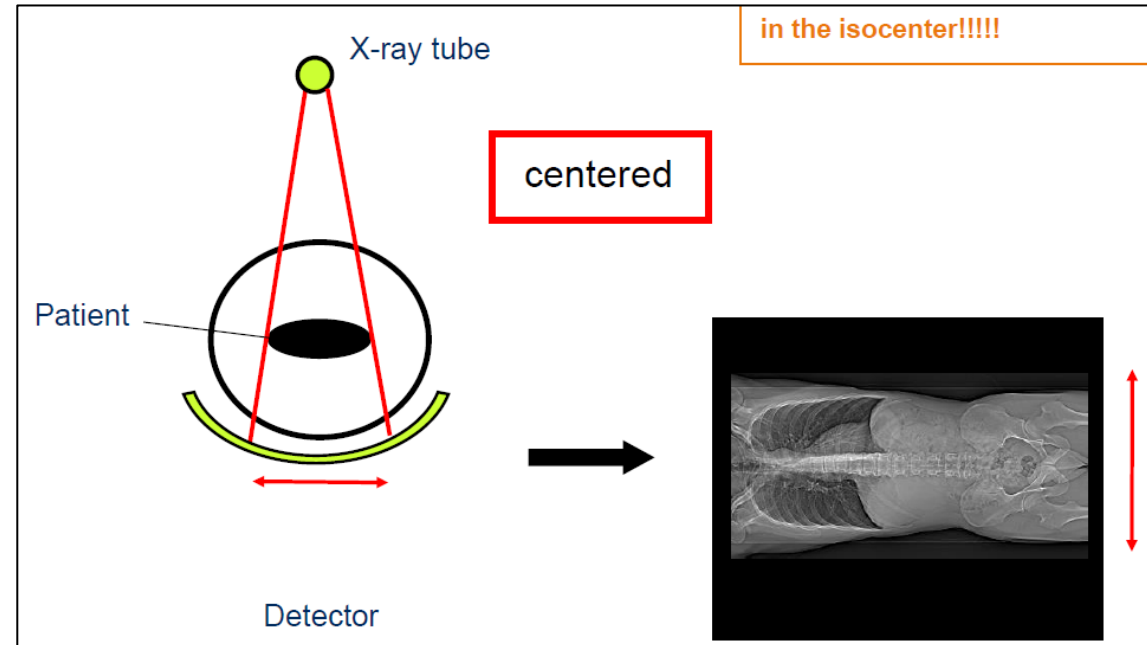
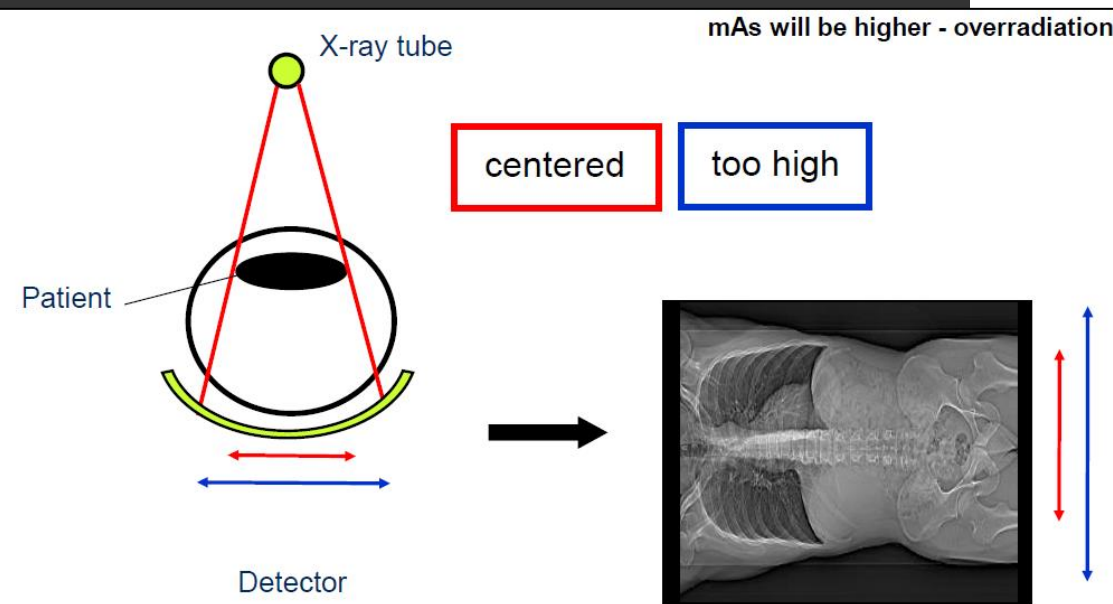
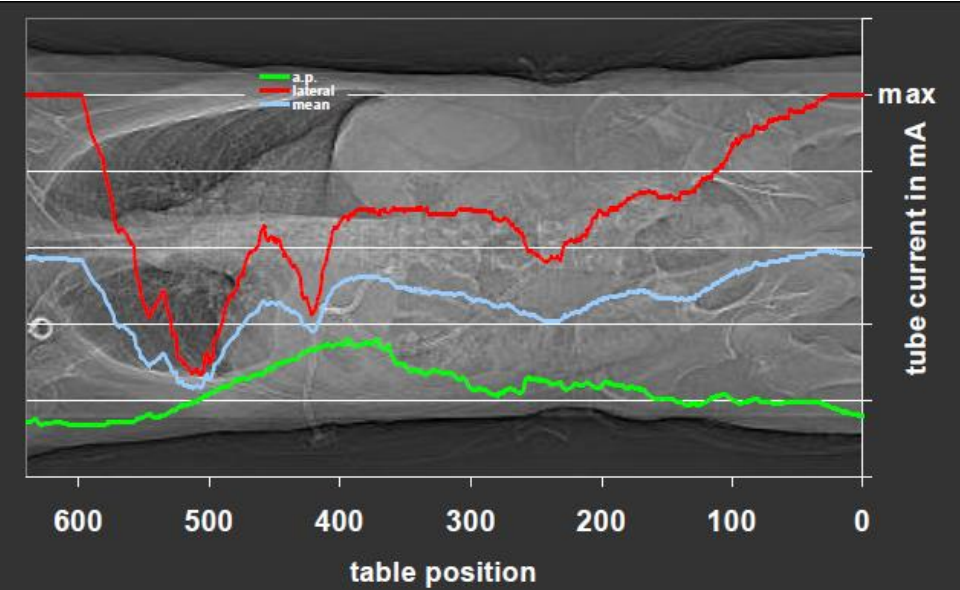


- “Prevalence and Severity of off-centering during diagnostic CT: observations from 46,621 CT scans of the chest, abdomen, and/or pelvis” in Current Problems in Diagnostic Radiology, 2018, article in press.



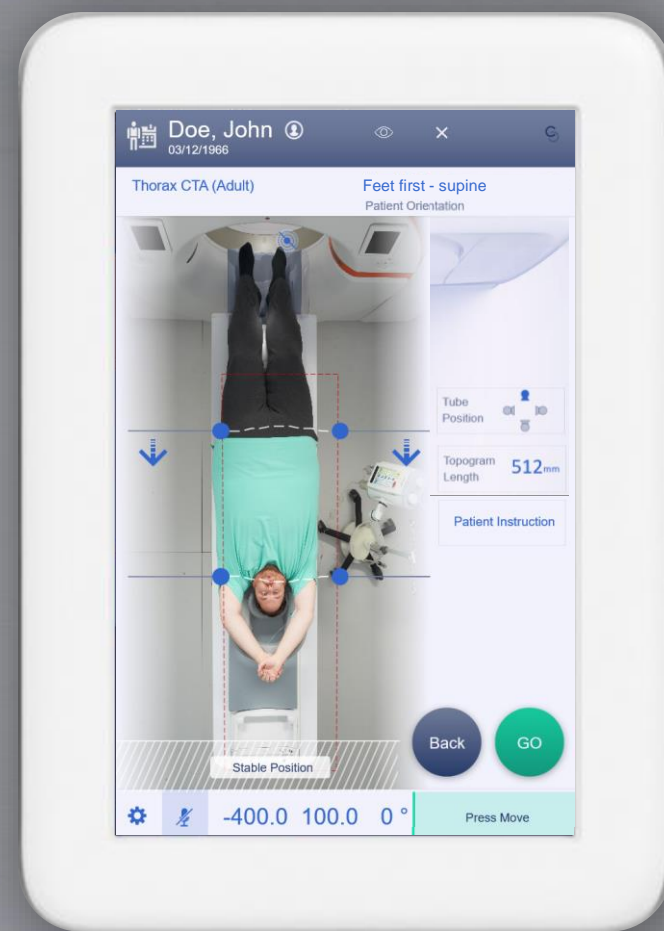
Source: Li J, Udayasankar UK, Toth TL et al. Automatic patient centering for MDCT: effect on radiation dose. AJR 2007; 188: 547 – 552 and Kaasalainen T, Palmu K, Lampinen A et al. Effect of vertical positioning on organ dose,<sup>7</sup> image noise and contrast in pediatric chest CT-phantom study. Pediatric radiology 2013; 43: 673 – 684.

# Pozice pacienta



# FAST 3D Camera pro standardizaci pozice pacienta

SIEMENS  
Healthineers



## FAST Isocenter

Pro správnou dávkovou

moduaci

## FAST Range

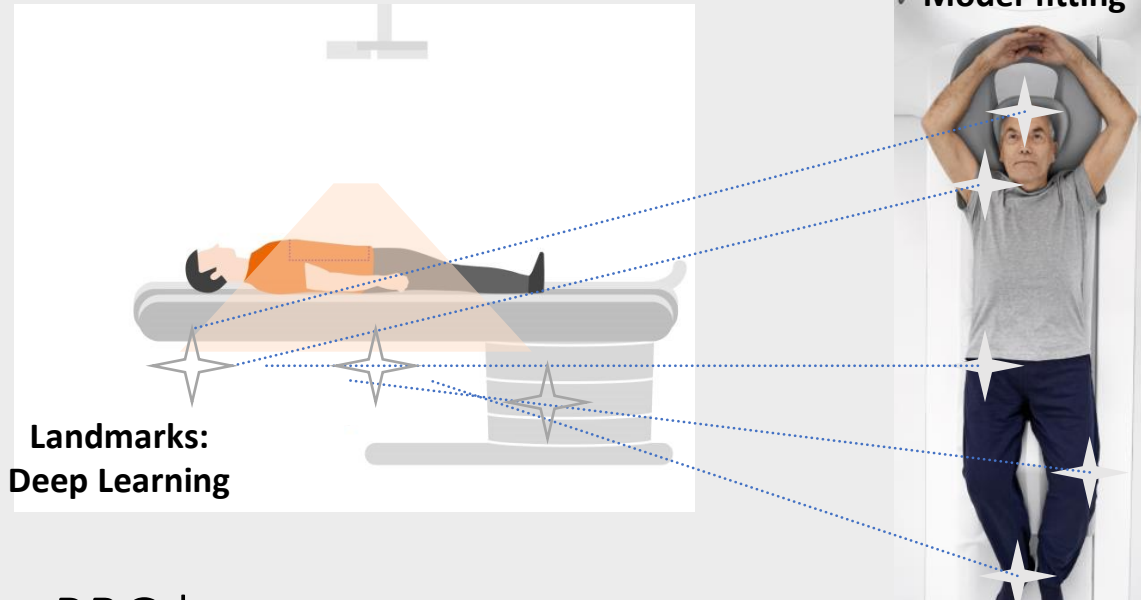
Pro přesné zacílení skenované  
anatomie

## FAST Direction

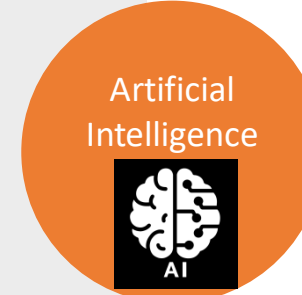
Pro správný skenovací  
směr

# FAST 3D Camera: Jak pracuje?

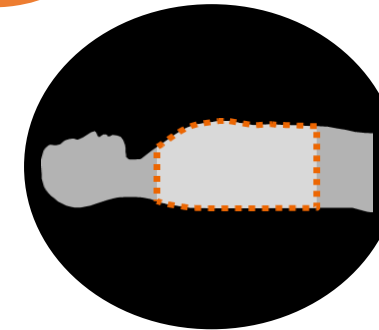
## Vstup



- RGB kamera
- IR kamera= 3D depth data
- Anatom. značky
- Avatar
- Korekce – Auto Offset

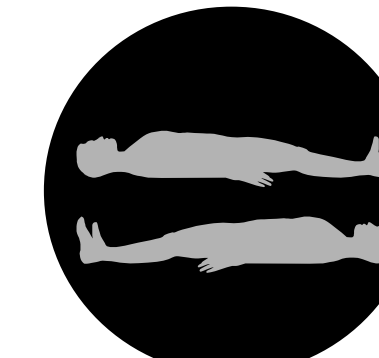


## Výstup



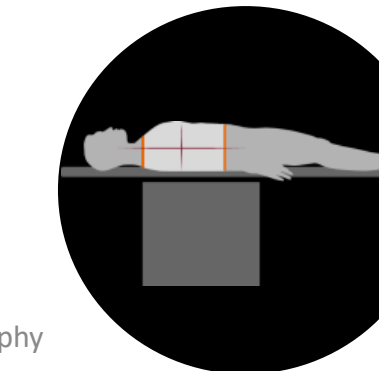
### FAST Range

- Identifikace těla
- Identifikace skenované oblasti



### FAST Direction

- Identifikace orientace pacienta



### FAST Isocentering

- Identifikace izocentra



# Pracovní postup s FAST 3D kamerou

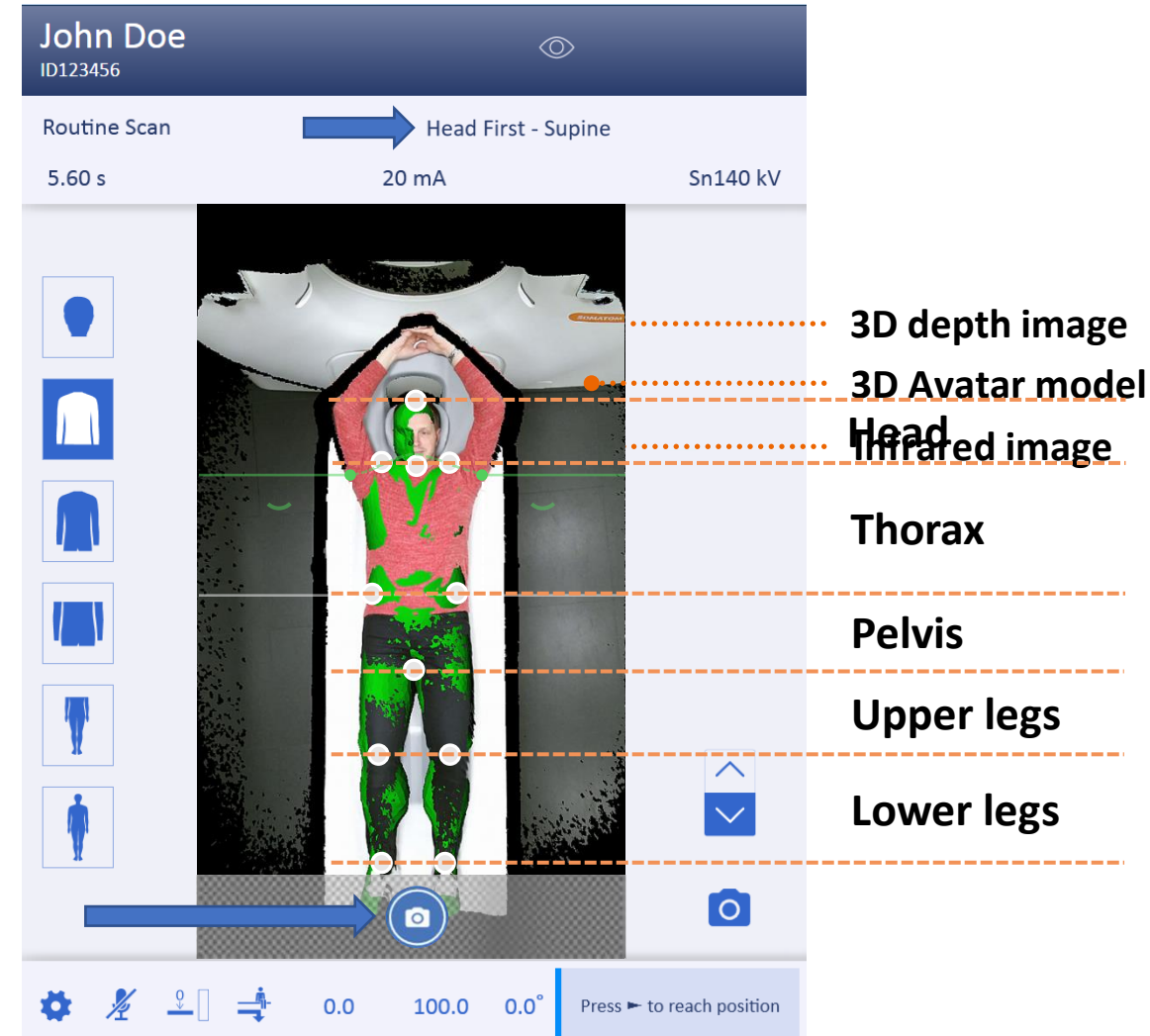


5

Systém automaticky  
detektuje orientaci pacienta

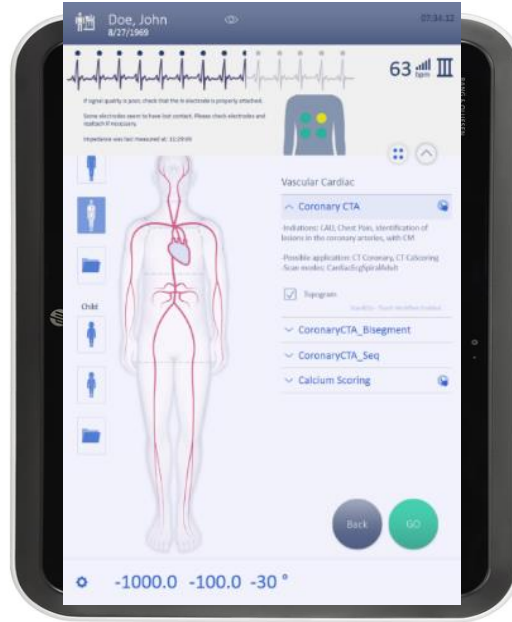
6

Systém získává 3D Depth Images  
dle číselného stupně  
regionů, založených na  
landmarkech (e.g. thorax)



Computed Tomography

# Scan&GO: Inteligentní algoritmus – standardizace pracovních postupů, kvalita, dávka



**Self-learning  
protocol selection<sup>1)</sup>**

Based on  
procedure  
selection and  
history



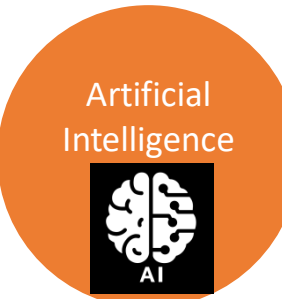
**FAST ROI**

Based on  
ALPHA  
technology/  
manual  
annotations



**FAST Planning**

Based on  
ALPHA  
technology/  
manual  
annotations



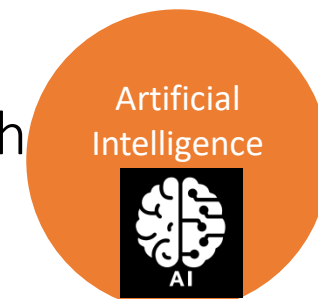
- 1) Based on clinical indication (requested procedure) and previous manual choices.

# ALPHA technologie

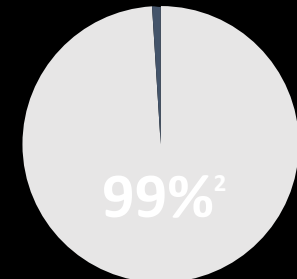
ALPHA technologie automaticky detekuje anatomické značky a struktury v CT obrazech

## Automatické výstupy:

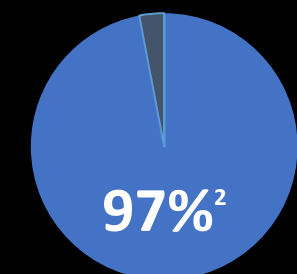
- Anatomické oblasti – rozsahy skenování na topogramu
- Nastavení vrstev vzhledem k anatomii
- Anatomické presety (paralelní, radiální, zakřivené)
- Značení obratlových těl a žeber
- Anatomická registrace: multiple timepoint registration – vyš. téhož pacienta v různých dnech



Accuracy



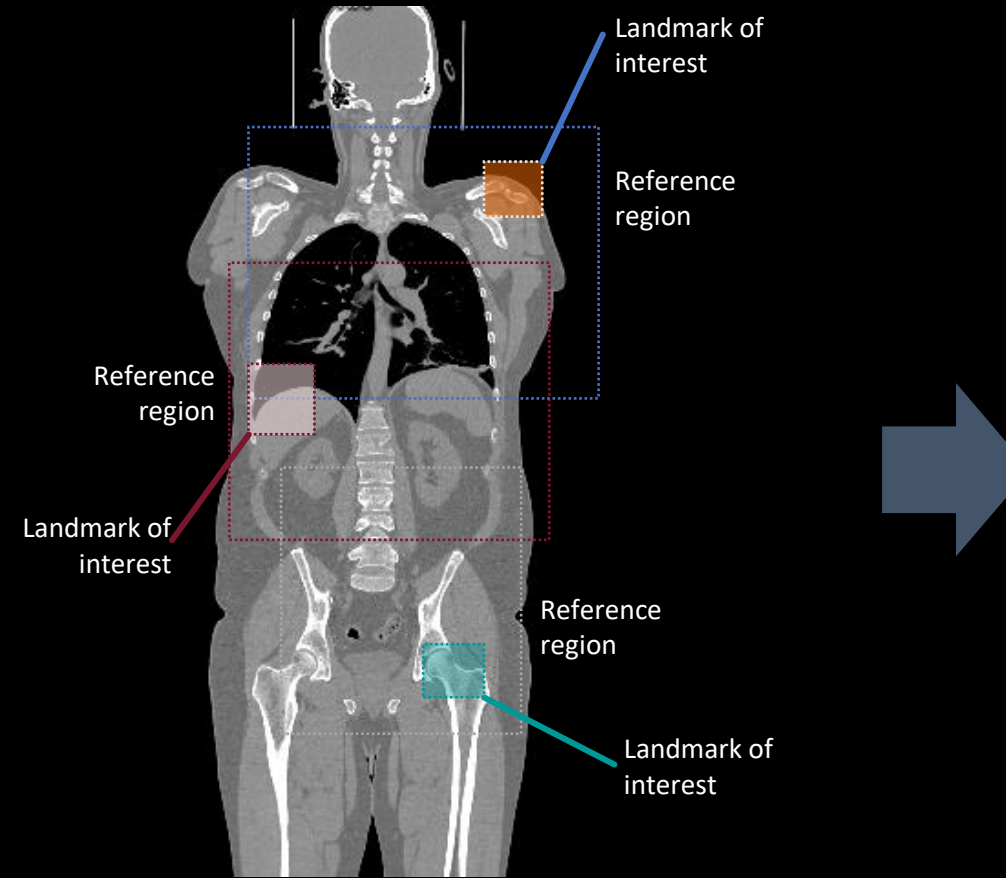
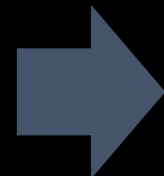
Sensitivity



# ALPHA technologie – vývoj



Manual  
annotation on  
hundreds of  
images



Detector training:  
Landmarks + reference  
regions surrounding the  
landmark

# Asistivní technologie

## Fully Assisting Scanner Technologies (Siemens)

### FAST Adjust -

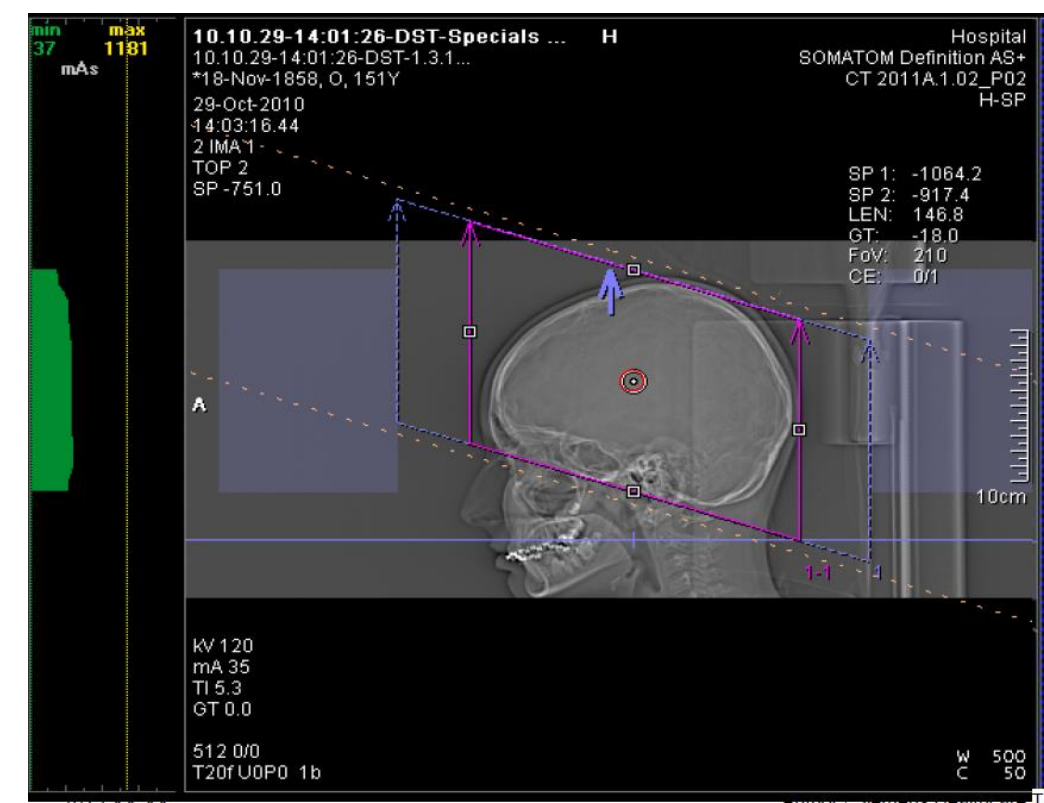
Skener automaticky upravuje:

1. Skenovací čas
2. max. mAs



**FAST Planning** asistence při plánování skenu a rekonstrukce založené na topogramu (usnadnění a zrychlení plánování vys., standardizace vyš.).

- výběr anatomické oblast zájmu
- automatická detekce a event. sklon dle anatom. bodů
- zúžení nebo rozšíření lateral FOV
- optimalizace FOV na rozsah např. hlavy (min.200mm)
- automatické nastavení do isocentra



# FAST Planning



• Courtesy of University of Salzburg, Salzburg, Austria

## Benefity:

- Méně úprav skenovaného rozsahu
- Prevence nedostatečného požadovaného anatomického pokrytí
- Prevence nadměrného pokrytí nad rámec požadovaného (neodůvodněná radiační zátěž)
- Automatizované pracovní postupy šetří čas přípravy

Based on  
ALPHA  
technology/  
manual  
annotations

Artificial  
Intelligence



Computed Tomography

# FAST Spine



Bez FAST Spine



S FAST Spine



• Courtesy of University of Salzburg, Salzburg, Austria

## Benefit:

- Automatické značení páteřního kanálu, jeho segmentů a obratlových těl
- Rychlejší a snazší hodnocení CT obrazů páteře
- Standardizace a reprodukovatelnost

Based on  
ALPHA  
technology/  
manual  
annotations

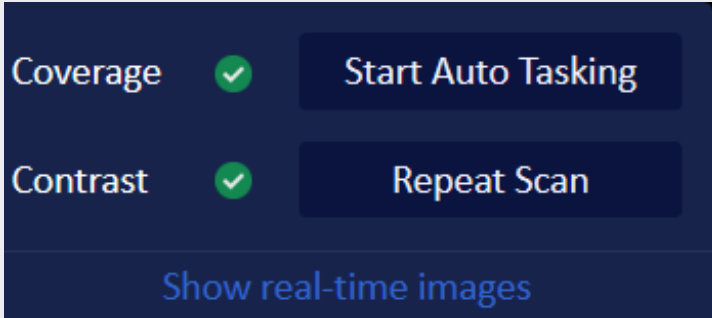
Artificial  
Intelligence  
AI

Computed Tomography

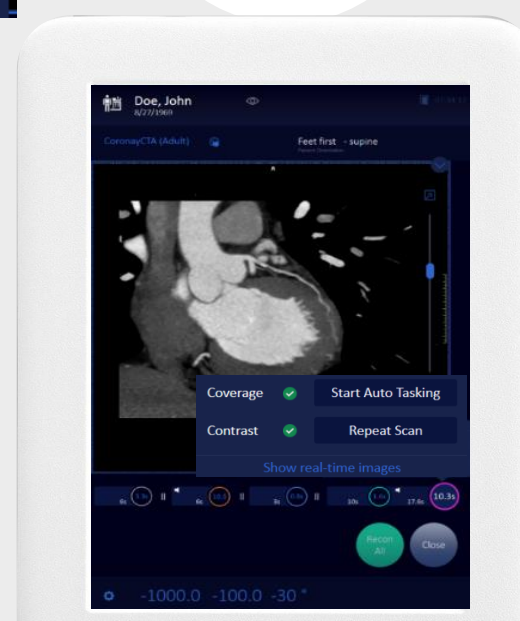
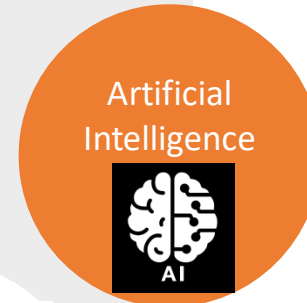
# Check&GO: Inteligentní algoritmus pro potvrzení kvality skenu

## Benefity: kontrola

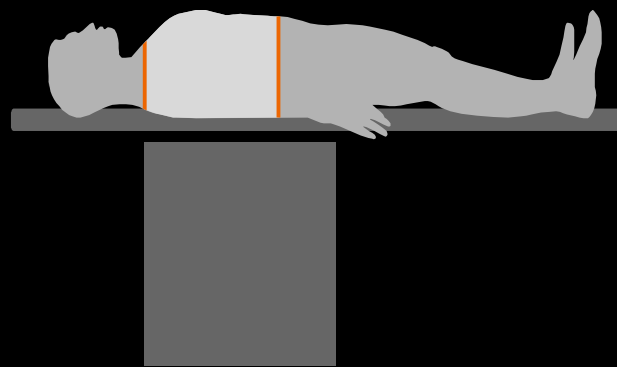
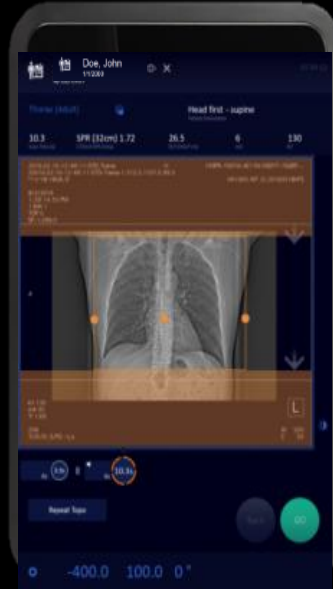
- Distribuce kontrastu
- Skenovaný rozsah vč. orgánového pokrytí



Based on  
ALPHA  
technology/  
manual  
annotations

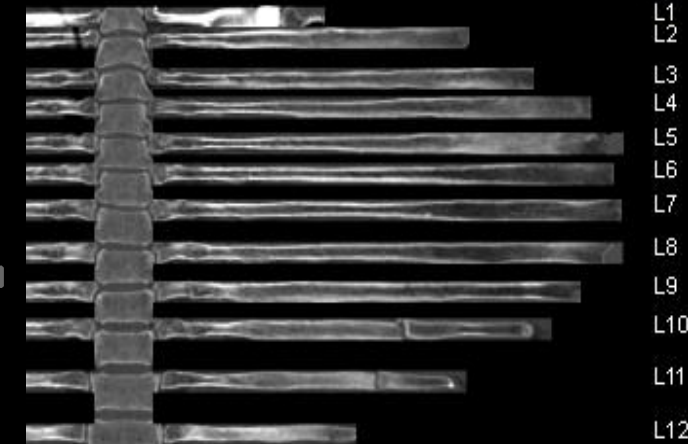
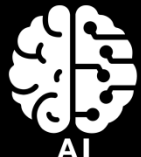


# Benefity AI v CT systémech

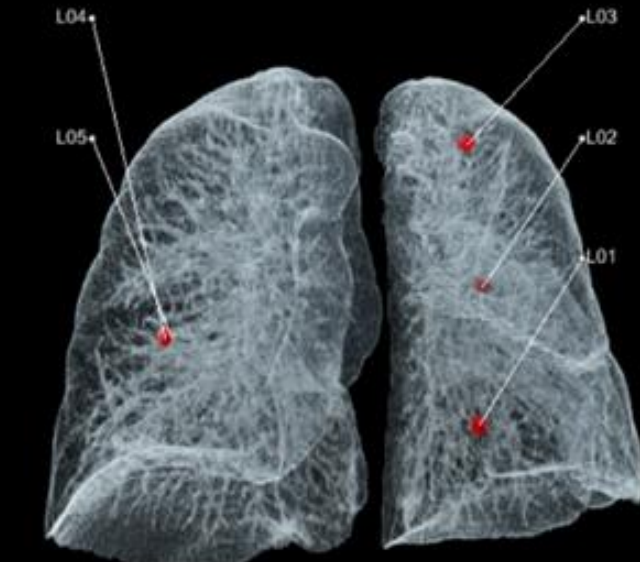


Usnadnění plánování skenu

- Automatická kalkulace FOV
- Kontrola kvality, úprava parametrů



- Podpora čtení CT obrazu
- Značení anatom. struktur
  - Automatická orgánová vizualizace

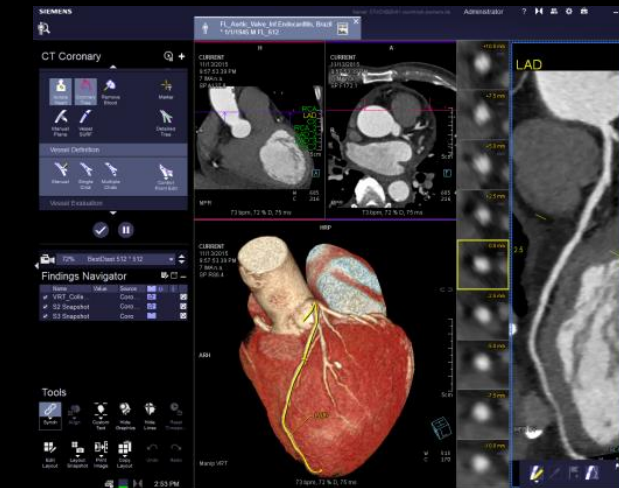


Podpora tvorby nálezu

- Detekce plicních nodulů
- Kalkulace skóre (např. Agaston)

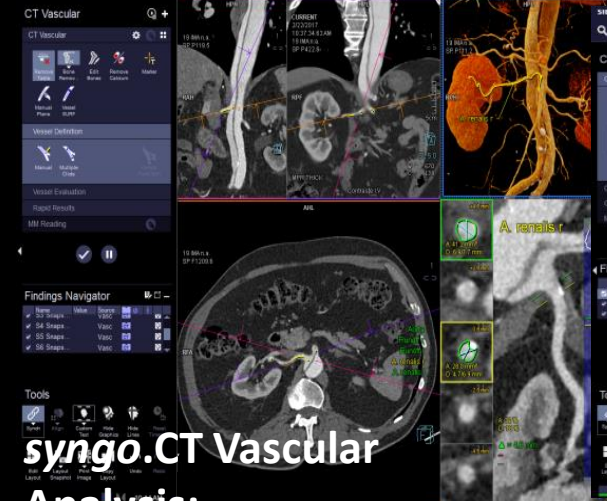
• 1 <https://www.itnonline.com/content/discover-benefits-ai-healthcare>

# Post-processing podporovaný AI



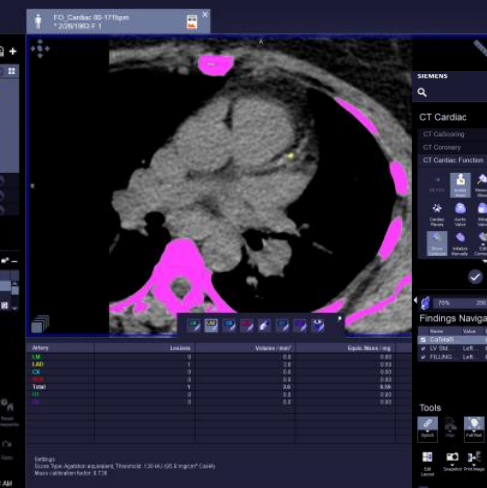
## syngo.CT Coronary Analysis:

- Curved and 3D display of coronaries
- Segmentation and 3D display of the heart



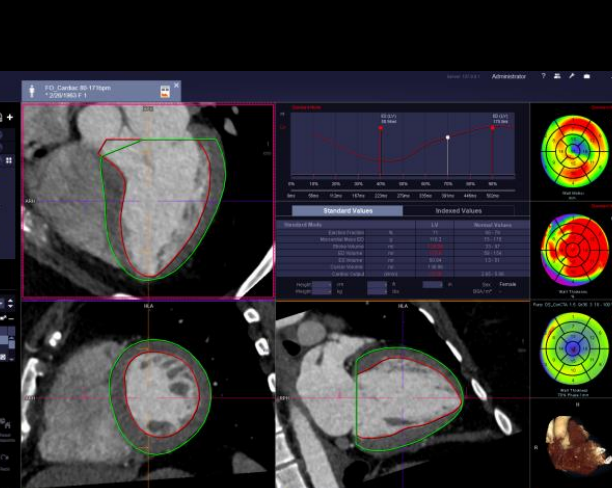
## syngo.CT Vascular Analysis:

- Automatic 3D display of vessels
- Automatic bone removal
- Curved view of aorta, carotids, renal vessels and run-offs



## syngo.CT CaScoring:

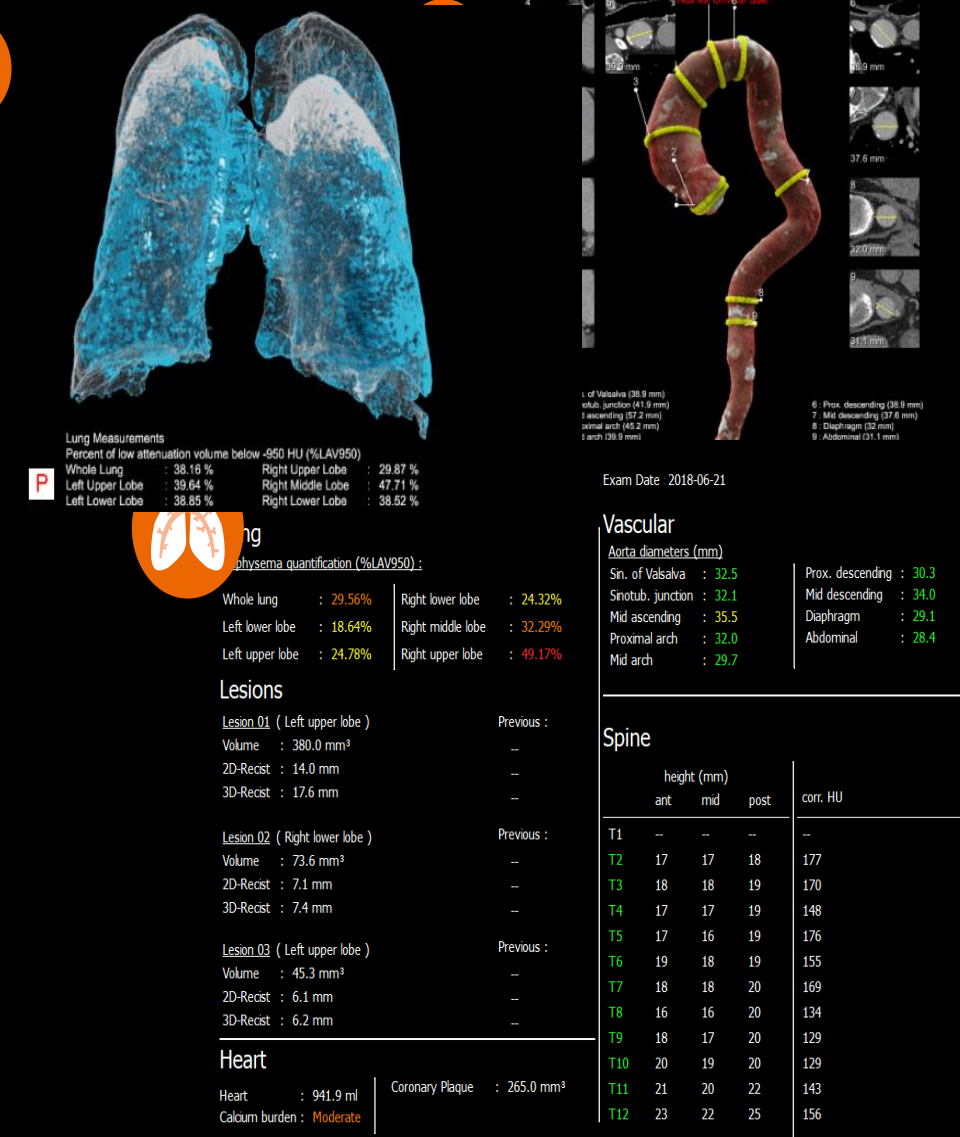
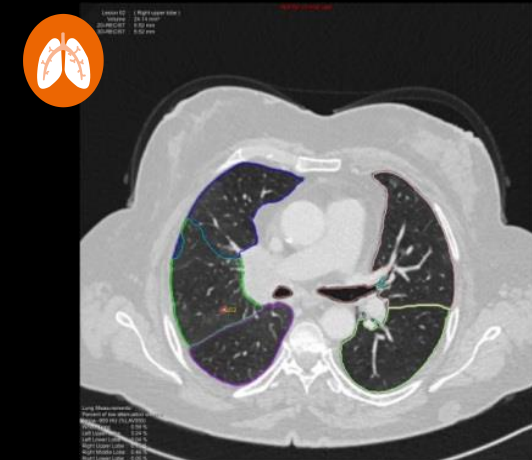
- Automatic calculation of Total Agatston score



## syngo.CT Cardiac Function:

- Automatic segmentation of right and left ventricel

# Artificial Intelligence – budoucnost v CT aplikacích



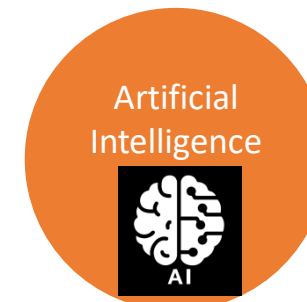
A



A

## Benefity:

- Zvýraznění anatomií a abnormalit
- Charakterizace a kvantifikace anatomií a abnormalit
- Měření anatomií a abnormalit
- Vytvoření reportu



Computed Tomography

- Automatický vstup



RIS

- Age
- Sex
- ...



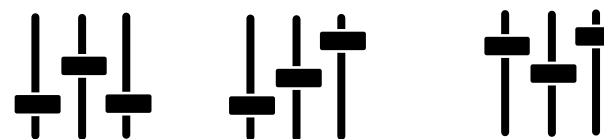
ECG

- Heart rate
- HR variability



FAST 3D  
Camera

- Izocentrické nastavení → přesné plánování rozsahu skenu z topogramu nižší dávka, lepší kontrast



Computed Tomography

- Manuální vstup



User

- Může pac. zadržet dech na více než > 5 s?
- Má pacient kovové implantáty?
- ...

# myExam Compass

## první krok do éry inteligentního CT zobrazování

### myExam Compass

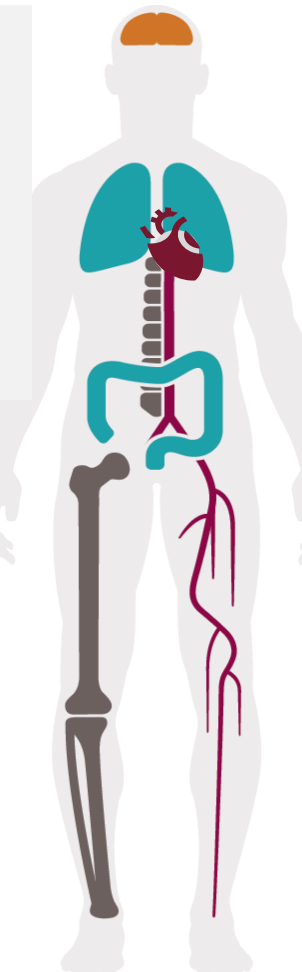
20+ rozhodovacích stromů pro **routinní** a **pokročilé** klinické aplikace, automaticky optimalizuje akviziční a rekonstrukční parametry k individuálnímu pacientovi a klinické otázce



### Routinní

- General multi-organ laterality (left / right)
- Metal: iMAR
- FoV / speed
- Soft tissue / bone
- Sinus dose
- CM / non-CM
- CTA
- Thorax screening / standard
- Thorax X-CARE / standard

Computed Tomography



### Pokročilé

#### Cardio

- Sequential / spiral / bi-Segment
- Pulsing window: Diastole / systole

#### Dual Energy multi-organ

- Spectral / FoV
- Spectral / speed
- Spectral / low kV



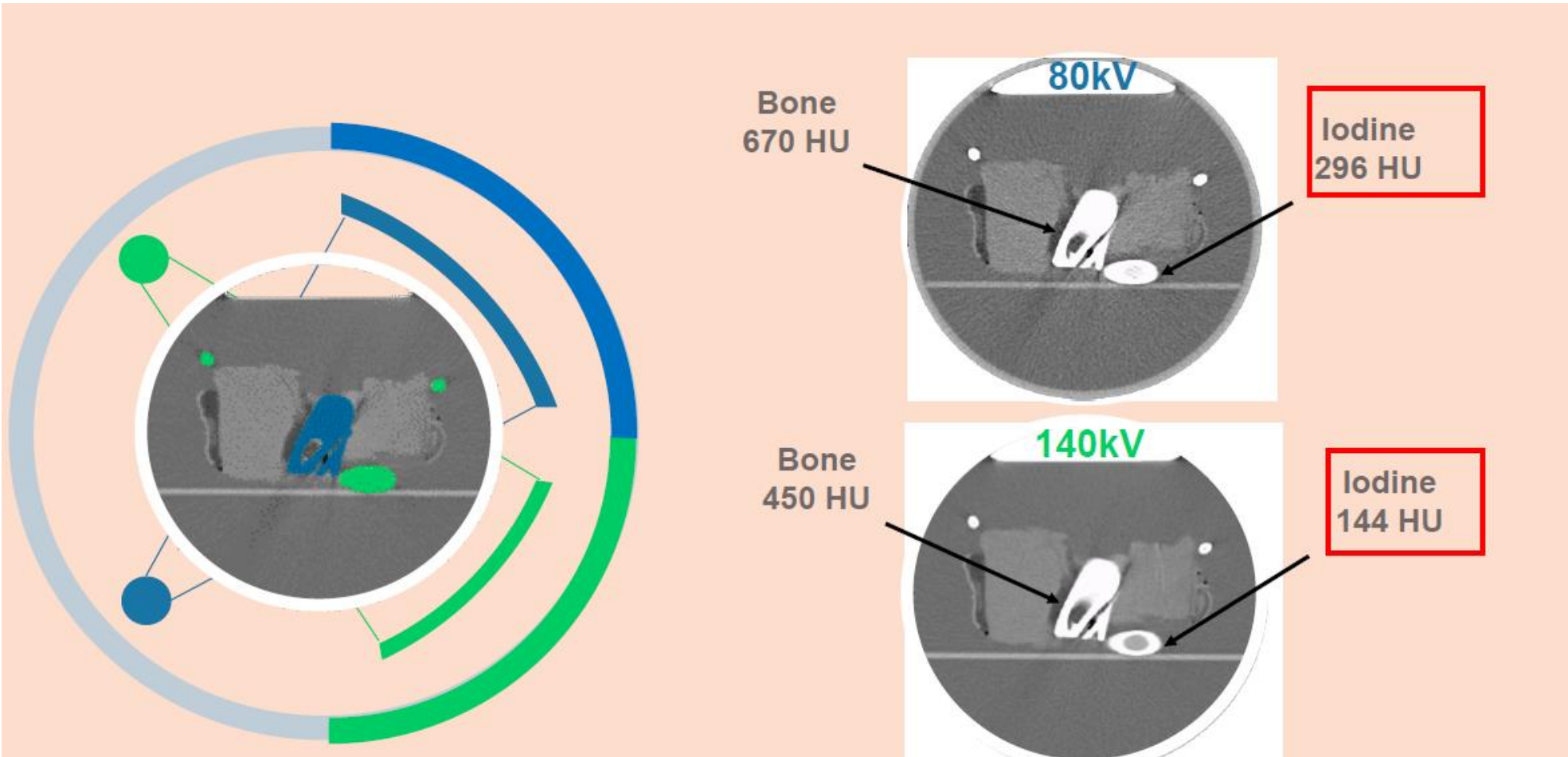
**Patient-friendly design with  
an 82 cm bore**

# CT DE

## Duální energie

- Některé materiály mají pro různé energie různý koeficient zeslabení (tedy i různé HU)

# Princip duální energie

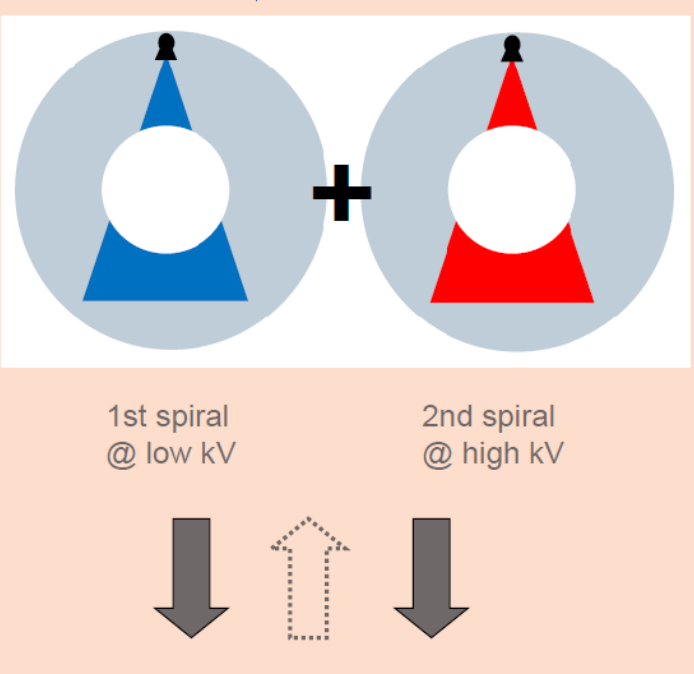


- Vyšší HU při nízkých kV má jód, kost, kov...
- Vyšší HU při vysokých kV má plast, soli kys. močové...
- Převážně stejné HU při obou energiích má voda, měkká tkáň, krev
- Diferenciace mezi tukem a jódem: jód má světlý kontrast, tuk má tmavý kontrast

# Dual Energy CT

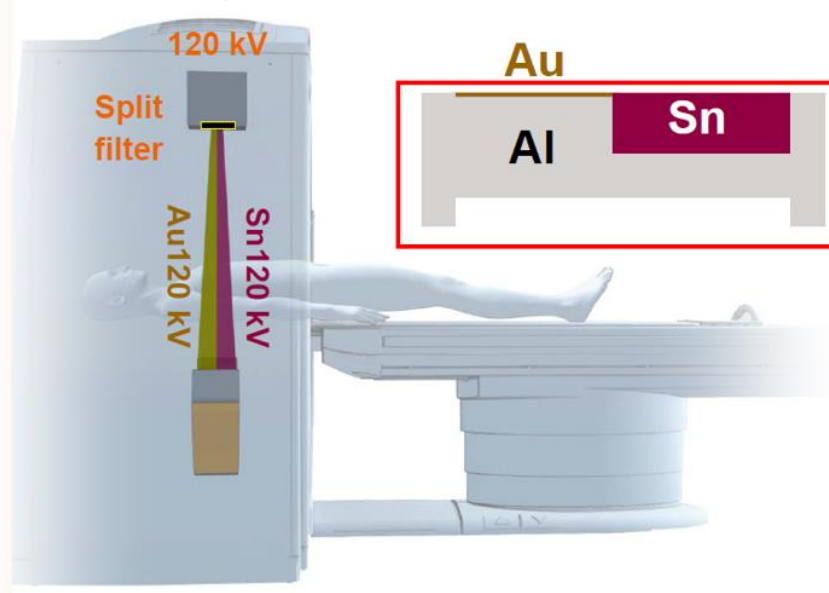
Generace - jeden rtg zdroj

Dvě spirály nabírané postupně  
s různou energií



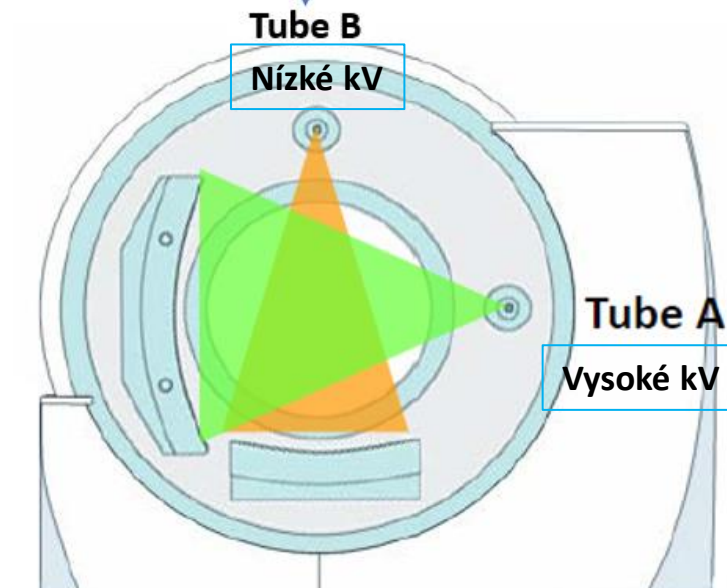
Generace Twin Beam - jeden  
rtg zdroj a split filtr – dělí svazek  
na dvě různé energie

Jedna dělená spirála



Generace - dva rtg zdroje (Dual Source DSCT)  
o různé energii (různé kV)

Dvě spirály nabírané simultánně



# Duální energie CT - Klinický benefit

- Duální energie (DE) má potenciál zvýraznit, charakterizovat, kvantifikovat a odlišit orgánová postižení v jednom CT skenu.

Změna HU v závislosti na použité energii umožní identifikaci a separaci tkání.

Tato materiálová dekompozice umožňuje **materiálovou charakterizaci a iodovou kvantifikaci orgánů a jejich postižení**

DE zlepšuje vizualizaci jodového kontrastu.

To pomáhá ke charakterizaci a diferenciaci orgánových struktur.

Duální energie pomáhá např. k :

- **diferenciaci** krve od kontrastu, vizualizace krvácení
- **Visualizace** změn v orgánové perfuzi
- **Zvýraznění** orgánových struktur např. pro identifikaci fraktur.....

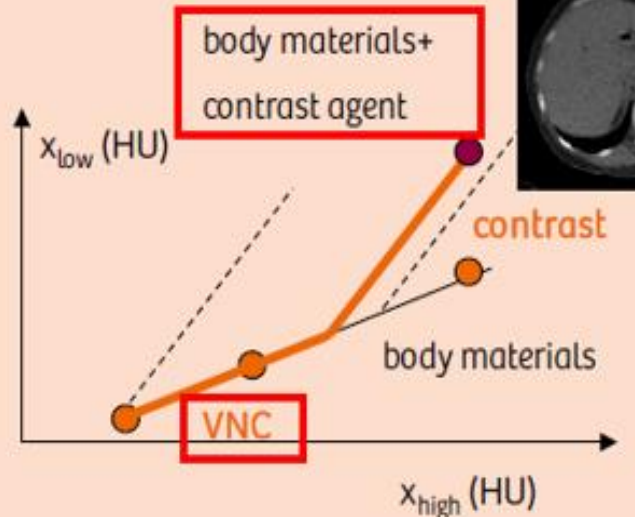
VNC &  
iodine  
maps

Mono+

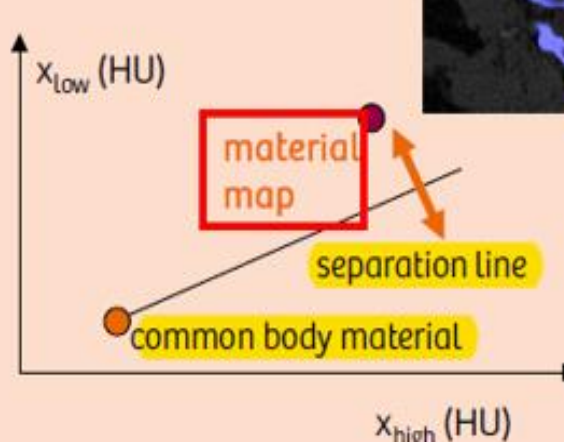
Bone  
Marrow

# Praktické aplikace z CTDE dat

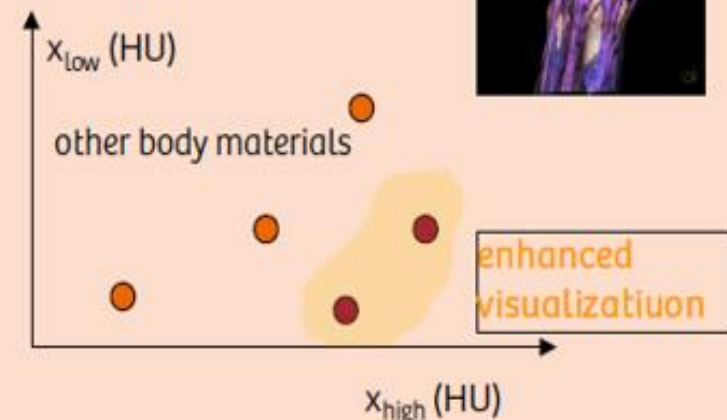
## Material Decomposition



## Material Labeling



## Material Highlighting

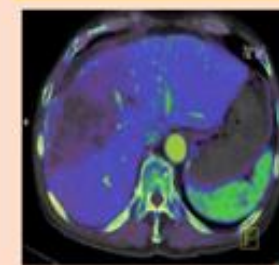


## Image Quality Improvement



- Optimum Contrast
- Monoenergetic

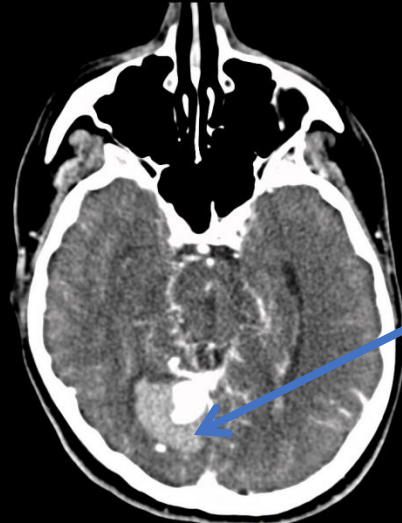
## Generic Material Differentiation



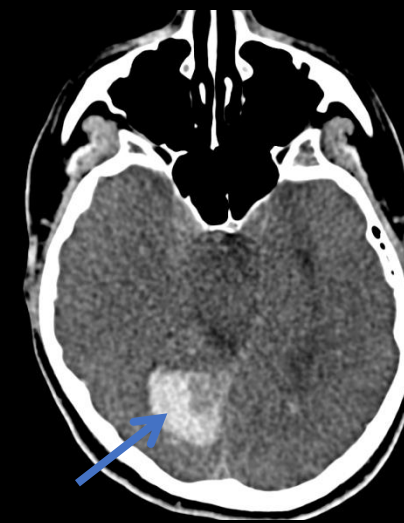
- Dual Energy Index
- $r_e/Z_{\text{eff}}$  decomposition\*

# Dual Energy CT – klinické využití

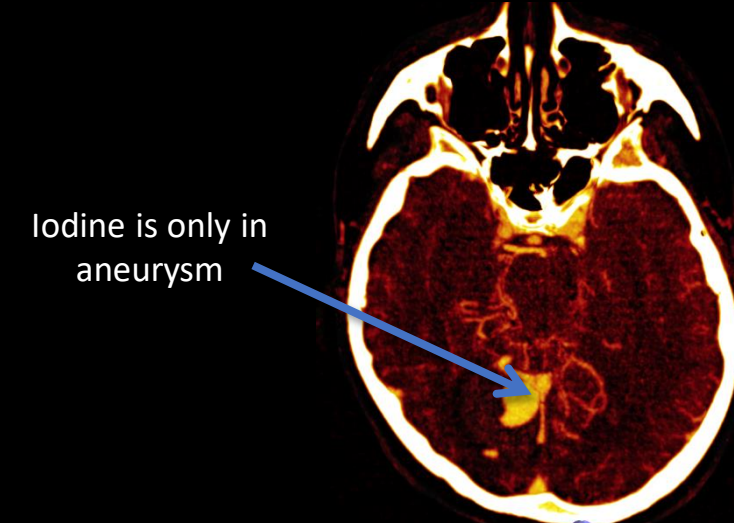
## DE Brain Hemorrhage



Dual Energy Mixed



Dual Energy Virtual noncontrast



Dual Energy Iodine map

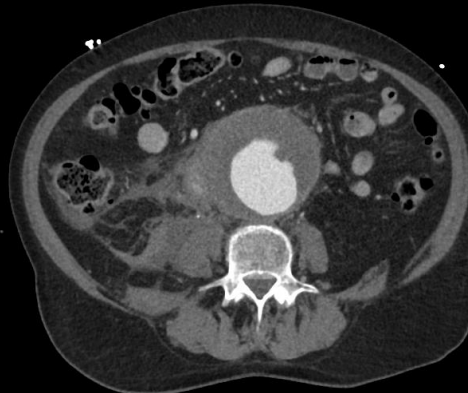


Various neuro-radiological indications require differentiation between iodine and blood. On standard 120 kVp CT imaging, iodine and blood have similar HU values. DECT enables the calculation of virtual noncontrast and iodine map series, which can be useful for iodine quantification and visualization of HU differences in such cases.

# Zlepšení obrazového kontrastu s DE *syngo.CT DE Monoenergetic Plus*

- SOMATOM Force

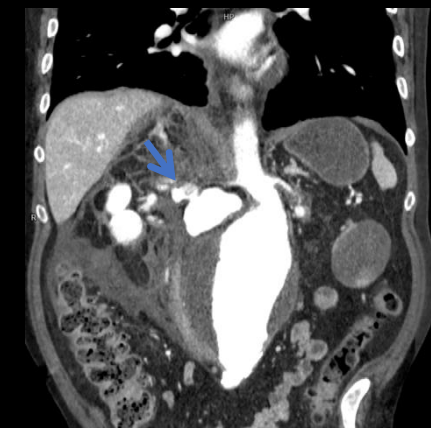
- Scan time: 16.62 s
- Scan length: 742 mm
- 100 kV
- Sn150 kV
- CTDI<sub>vol</sub>: 8.77 mGy
- DLP: 642.2 mGy cm



Monoenergetic image at 70 keV  
(equals 120 kV conventional CT  
image impression)



Monoenergetic Plus 40 keV



Monoenergetic Plus 40 keV



## Dual Source Dual Energy CT:

- fast whole-body imaging
- low radiation, dose-neutral acquisition
- provides additional quantitative information

# Analýza orgánové perfuze s DE *syngo.CT DE Lung Analysis: multičetná plicní embolie*

SOMATOM Force

Scan time: 1.9 s

Scan length: 252 mm

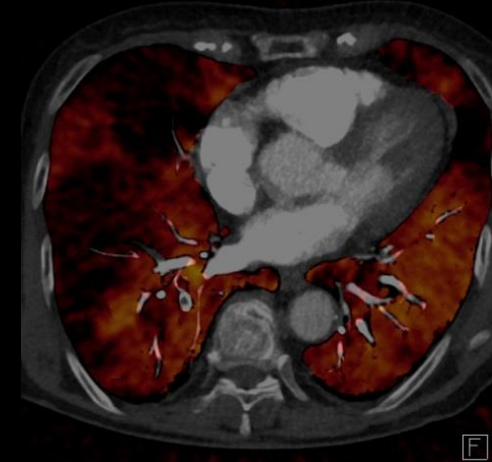
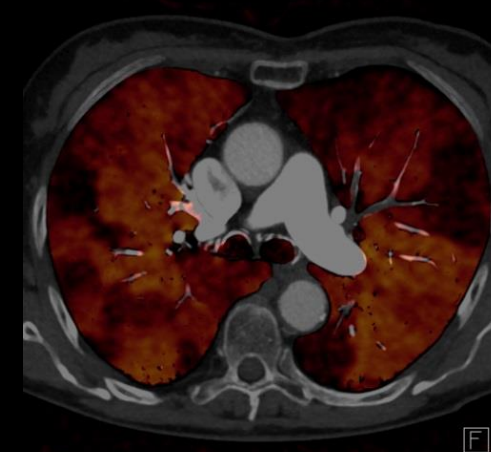
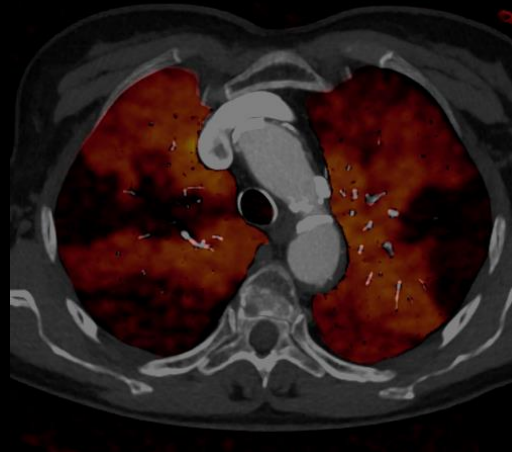
90 kV

Sn150 kV

CTDI<sub>vol</sub>: 2.91 mGy

DLP: 63.3 mGy cm

Eff. dose: 0.89 mSv



The speed of Dual Source Dual Energy enables easy visualization of perfusion defects in the lung that were previously difficult to visualize with CT, sometimes requiring other imaging modalities to be used.

# Analýza orgánové perfuze s DE *syngo.CT DE Heart PBV: myocardial perfusion*

## SOMATOM Force

Scan time: 2.3 s

Scan length: 97 mm

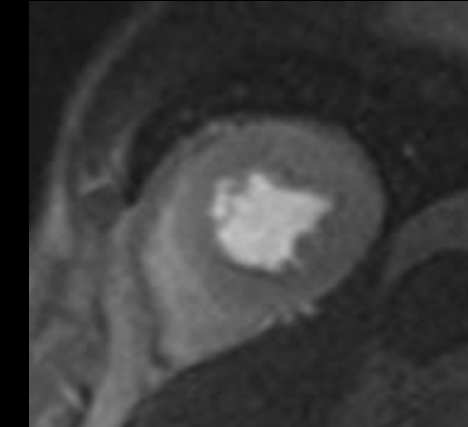
90 kV

Sn150 kV

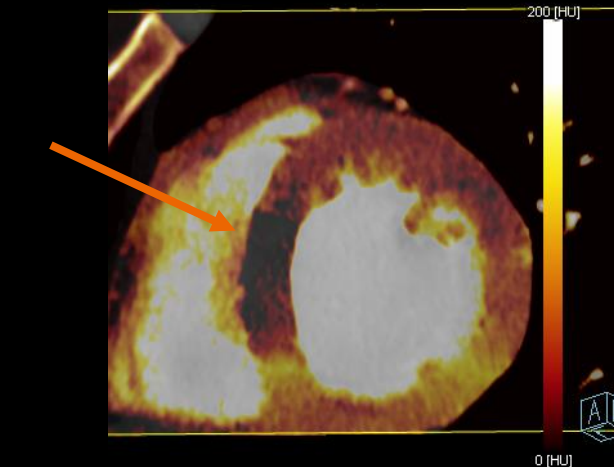
CTDI<sub>vol</sub>: 20.75 mGy

DLP: 266.3 mGy cm

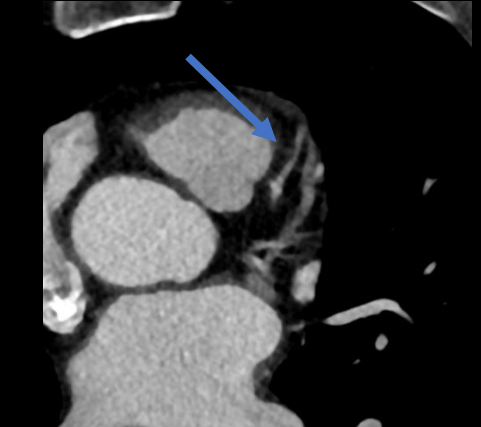
Eff. dose: 3.7 mSv



MRI image → no defect



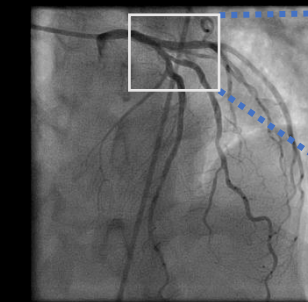
DE CT iodine map → perfusion defect



CTA → LAD stenosis



The speed of Dual Source Dual Energy enables easy visualization of perfusion defects in the lung that were previously difficult to visualize with CT, sometimes requiring other imaging modalities to be used.



Inv. CTA → LAD stenosis

# Vyhodnocení kostních struktur s DE *syngo.CT DE Bone Marrow*

**SOMATOM Force**

Scan time: 12.08 s

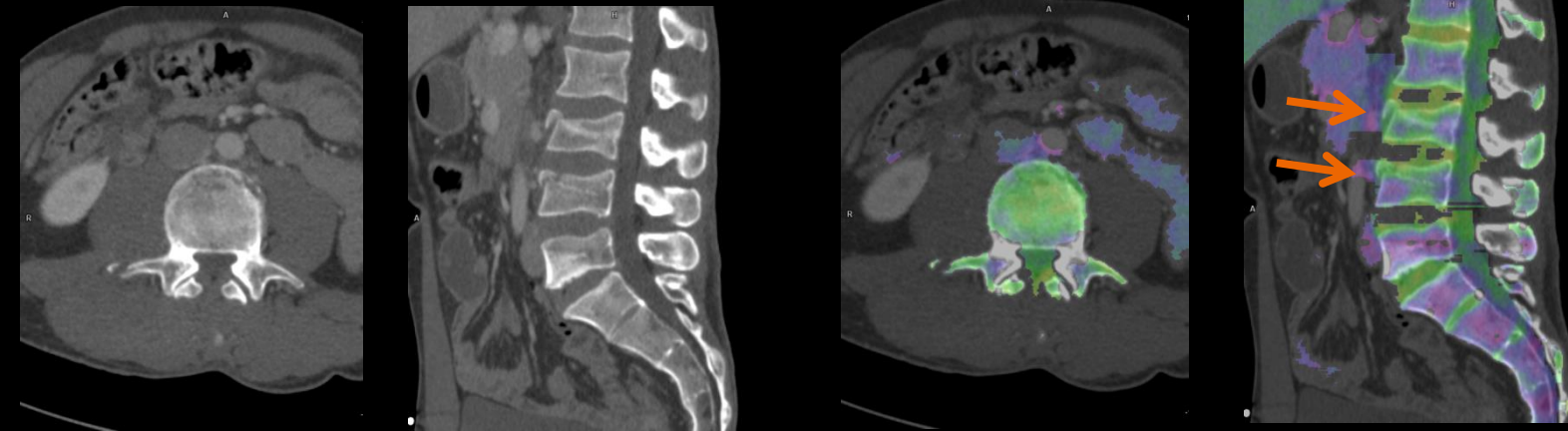
Scan length: 533 mm

100 kV

Sn150 kV

CTDI<sub>vol</sub>: 5.28 mGy

DLP: 276.5 mGy cm



Conventional CT image

Dual Energy Bone Marrow CT



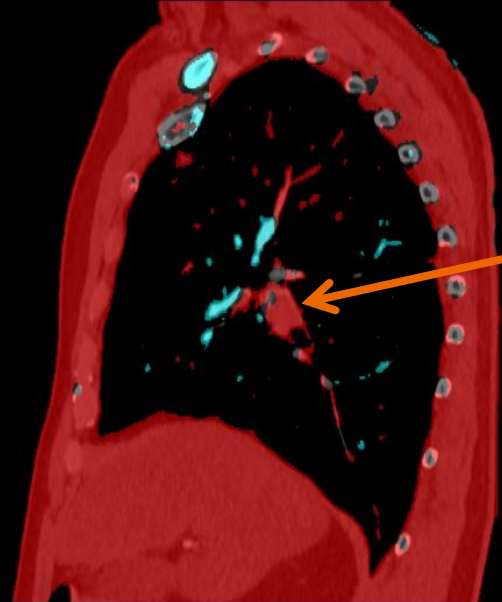
Dual Source Dual Energy CT advantages:

- fast whole-body imaging
- clear spectral separation between kV values

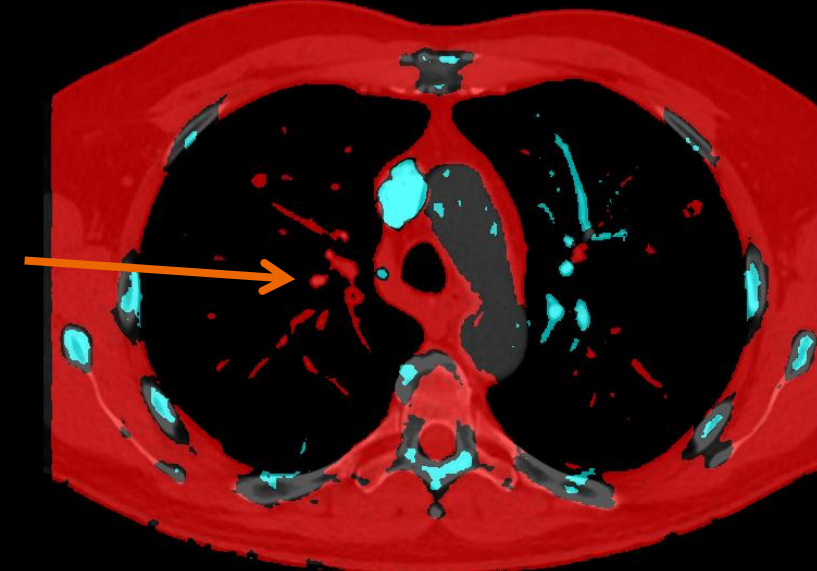
# Vizualizace a analýza cév a perfuze

SIEMENS  
Healthineers

## Vyhodnocení plicní embolie s barevným kódováním postižených cév

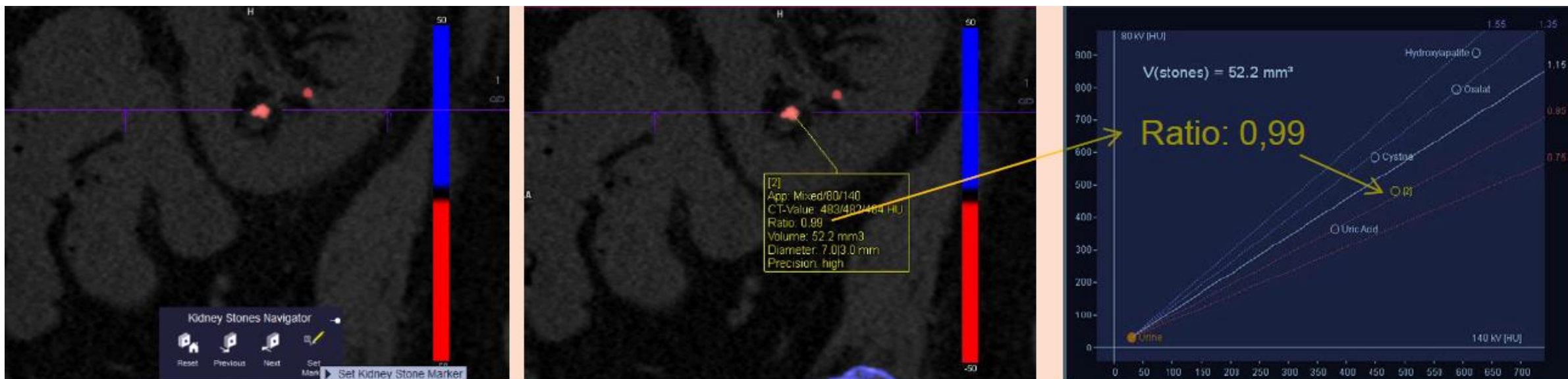
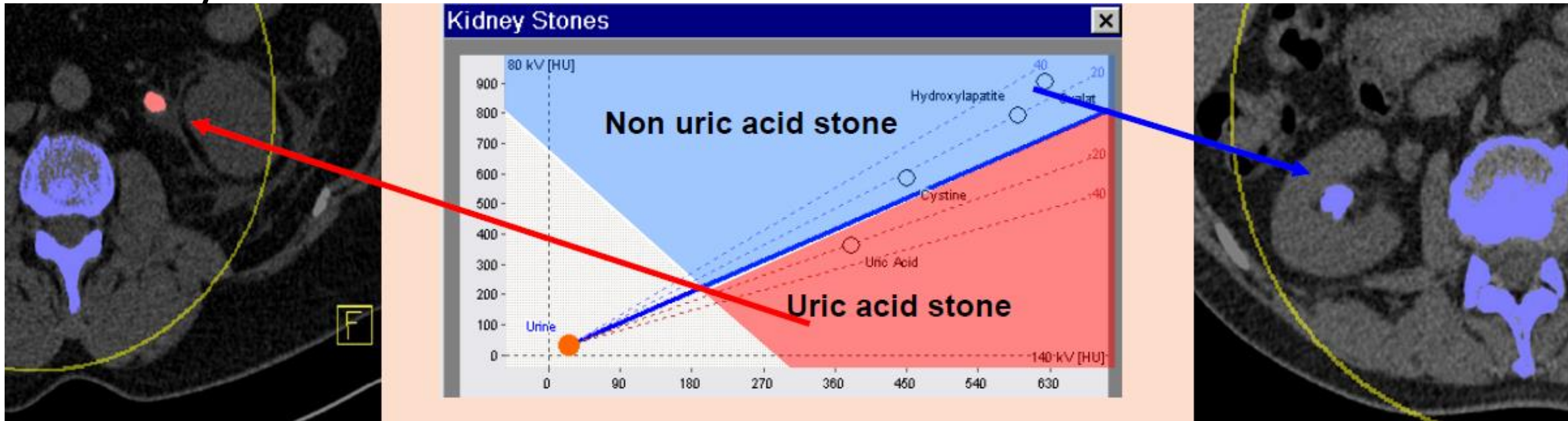


Color-coded affected vessels



Expand your capabilities in clinical routine with easy visualization of perfusion defects in the lung that were previously difficult to visualize with CT, sometimes requiring other imaging modalities to be used.

# Charakterizace močových kamenů – určení převahy vápenatých nebo měkkých iontů



# Dual/Multi Energy

## **Detection and Characterization of Renal Stones by Using Photon-Counting-based CT.**

Marcus RP, Fletcher JG, Ferrero A, Leng S, Halaweish AF, Gutjahr R, Vrtiska TJ, Wells ML, Enders FT, McCollough CH.

Radiology. 2018 Aug 7:180126. doi: 10.1148/radiol.2018180126. [Epub ahead of print]

## **Determination of Optimal Image Type and Lowest Detectable Concentration for Iodine Detection on a Photon Counting**

### **Detector-Based Multi-Energy CT System.**

Zhou W, Schornak R, Michalak G, Weaver J, Abdurakhimova D, Ferrero A, Fetterly KA, McCollough CH, Leng S. Proc SPIE Int Soc Opt Eng. 2018 Mar;10573. pii: 105734U. doi: 10.1117/12.2294949.

## **Three-Material Decomposition in Multi-energy CT: Impact of Prior Information on Noise and Bias.**

Ren L, McCollough CH, Yu L.

Proc SPIE Int Soc Opt Eng. 2018 Mar;10573. pii: 105731G. doi: 10.1117/12.2294953.

## **Characterization of Urinary Stone Composition by Use of Whole-body, Photon-counting Detector CT.**

Ferrero A, Gutjahr R, Halaweish AF, Leng S, McCollough CH.

Acad Radiol. 2018 Feb 14. pii: S1076-6332(18)30019-9. doi: 10.1016/j.acra.2018.01.007. [Epub ahead of print]

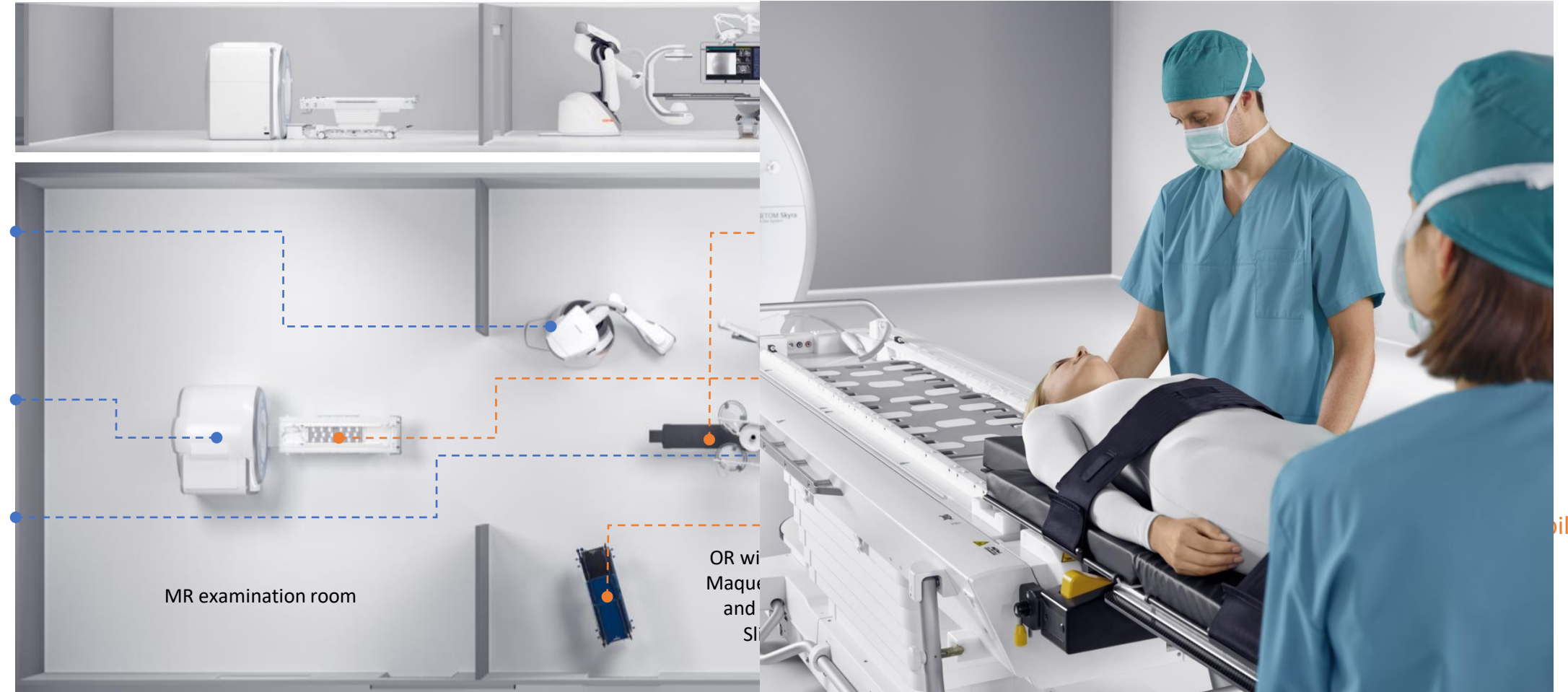
## **Dual Energy CT Kidney Stone Differentiation in Photon Counting Computed Tomography.**

Gutjahr R,

# Somatom On.site



# Budoucnost multimodalitních sálů



# Klinické využití

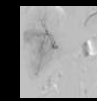
## Angiography



## Fluoroscopy



## Digital Subtraction Angiography (DSA)



## 3D imaging



## Needle guidance



## Image fusion



## MRI



## Soft-tissue imaging



## Perfusion imaging



## Diffusion weighted imaging



## Imaging to support ablation verification



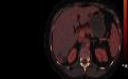
## Vascular assessment



## CT



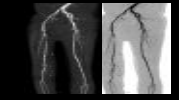
## High- and low-contrast imaging



## Skeletal imaging



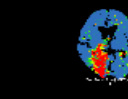
## CT angiography



## CT needle guidance



## Perfusion imaging



Děkuji za pozornost